

Dual-frequency $\text{CH}_2\text{F}_2/\text{H}_2/\text{Ar}$ capacitively coupled plasma를 이용한 실리콘질화물과 ArF PR의 무한 선택비 식각 공정

박창기, 이춘희, 김희대, 이내용*

성균관대학교 신소재공학부

Infinite Selectivity Etching Process of Silicon Nitride to ArF PR Using Dual-frequency $\text{CH}_2\text{F}_2/\text{H}_2/\text{Ar}$ Capacitively Coupled Plasmas

Chang Ki Park, Chun Hee Lee, Hui Tae Kim, Nae-Eung Lee*

School of Advanced Materials Science & Engineering and Center for Advanced Plasma Surface Technology, Sungkyunkwan University, Suwon, Kyunggi-do 440-746, Korea

(Received 25 May 2006 ; accepted 15 June 2006)

Abstract

Process window for infinite etch selectivity of silicon nitride (Si_3N_4) layers to ArF photoresist (PR) was investigated in dual frequency superimposed capacitive coupled plasma (DFS-CCP) by varying the process parameters such as low frequency power (P_{LF}), CH_2F_2 and H_2 flow rate in $\text{CH}_2\text{F}_2/\text{H}_2/\text{Ar}$ plasma. It was found that infinite etch selectivities of Si_3N_4 layers to the ArF PR on both blanket and patterned wafers can be obtained for certain gas flow conditions. The etch selectivity was increased to the infinite values as the CH_2F_2 flow rate increases, while it was decreased from the infinite etch selectivity as the H_2 flow rate increased. The preferential chemical reaction of the hydrogen with the carbon in the polymer film and the nitrogen on the Si_3N_4 surface leading to the formation of HCN etch by-products results in a thinner steady-state polymer and, in turn, to continuous Si_3N_4 etching, due to enhanced SiF_4 formation, while the polymer was deposited on the ArF photoresist surface.

Keywords: Etch, Nitride, CCP, ArF PR, Dual frequency

1. 서 론

실리콘 반도체 디바이스 제조를 위한 디바이스의 집적도가 끊임없이 증가함에 따라 포토리소그라파의 분해능 향상을 위하여 더 짧은 파장이 필요하게 되었다. 그러나 짧은 파장을 이용한 PR은 더 얇아지게 되었고 더 약한 플라즈마에 대한 내성을 가지게 되어 건식 식각 공정이 어렵게 되었다. 따라서, 다양한 공정에서 사용되고 있는 ArF PR을 마스크로 한 건식 식각 공정의 개발이 중요한 쟁점이 되고 있으나, 일반적인 플로오로카본 플라즈마 식각 공정에서는 실리콘질화물(Si_3N_4)과 ArF PR 간의 높은 선택비를 얻기 힘들었다.

Dual frequency capacitively coupled plasma (2f-CCP) etcher는 종종 ArF PR을 마스크로 하여 100 nm 이하 선폭 기술의 절연층 에칭에 사용되고 있다. 표면에 입사하는 이온 유속(ion flux)과 이온 에너지(ion energy)를 독립적으로 제어할 수 있기 때문에 2f-CCP는 절연층 식각을 위하여 집중적인 연구와 개발이 이루어졌다¹⁻⁶⁾. 즉, 높은 주파수 파워(P_{HF}) 소스는 플라즈마 생성을 제어하고, 낮은 주파수 파워(P_{LF}) 소스는 쉬스(sheath)에서 이온의 운동에너지를 제어할 수 있다³⁻⁶⁾. 특히, 최근에는 낮은 주파수와 높은 주파수 소스가 두개의 전극판에 따로 연결되는 것이 아니라, 하나의 전극판에 두개의 주파수 파워 소스를 연결한 dual frequency superimposed CCP(DFS-CCP)가 개발되어 사용되고 있다.

*Corresponding author. E-mail : nelee@skku.edu

향후 PR 두께의 지속적인 감소와 함께 CD (critical dimension) 사이즈가 50 nm 이하로 줄어들 것으로 예상된다. 이러한 나노 스케일 플라즈마 식각의 경우 ArF PR을 이용한 하드마스크 폐년의 어려움 때문에 multi-layer resist(MLR)와 같은 새로운 운식각 방법이 요구되고 있지만, 이는 곧 제조 비용의 상승을 초래한다. 따라서 ArF PR을 이용하여 Si_3N_4 와 같은 하드마스크의 간단한 폐년 공정기술의 개발은 매우 중요하다. 이러한 관점에서 볼 때 DFS-CCP를 이용한 무한히 높은 선택비를 갖는 절연증 식각 공정은 아주 흥미로운 분야라 할 수 있다.

2. 실험 방법

본 연구에 사용된 식각 장비는 8-inch DFS-CCP 장비이다¹⁰. HF 파워 소스에는 각기 다른 세 개의 주파수(13.56, 27.12, 60 MHz)가 각각 연결되어 있으며, LF 파워 소스로 2 MHz가 연결되었다. 본 실험에서 공정 압력은 260 mTorr, 공정시간은 1분, HF와 LF 주파수는 27.12 MHz와 2 MHz를 조합하였고, HF 소스 파워(P_{HF})는 400 W로 고정시킨 상태에서 LF 파워(P_{LF}), CH_2F_2 와 H_2 가스 유량을 변화시키면서 실험하였다. ArF PR(180 nm)/BARC(28 nm)/ Si_3N_4 직층을 가지는 폐년된 실리콘 웨이퍼를 사용하였고, 실험에서 사용된 폐년의 CD는 약 130 nm이다. 실리콘질화물 증은 LPCVD를 이용하여 증착되었다. 또한 폐년되지 않은 ArF PR과 Si_3N_4 웨이퍼도 준비하였다. ArF PR은 동진 세미켐 (Dongjin Semichem Co. Ltd., 한국)에서 제공한 샘플을 사용하였다.

본 실험에서는 실리콘질화물 하드마스크 식각 공정을 위하여 $\text{CH}_2\text{F}_2/\text{H}_2/\text{Ar}$ 혼합 가스를 사용하였다. 식각 후 폐년되지 않은 웨이퍼(ArF PR, Si_3N_4)의 밑면 두께 측정과 폐년된 ArF PR/BARC/ Si_3N_4 직층의 형상 넛 두께 측정을 위하여 광학적 표면두께 측정기(ST2000DX, K-MAX, Korea)와 전계 방출 주사 전자 현미경(field-emission scanning electron microscopy, FE-SEM)을 각각 사용하였다. 또한 실리콘질화물 식각사, CH_2F_2 가스와 H_2 가스 유량 변화에 따른 표면의 화학적 조성을 분석하기 위하여 x-ray photoelectron spectroscopy(XPS)를, 플라즈마 진단을 위하여 optical emission spectrometer(OES)를 각각 사용하였다.

3. 결과 및 고찰

우선, P_{HF} 를 고정한 상태에서 LF 파워(P_{LF})를 변

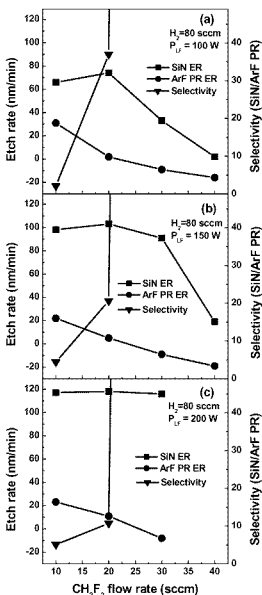


Fig. 1. Etch rates and etch selectivities of the blanket Si_3N_4 and ArF PR etched for 1 min under the condition of P_{HF} (400 W)/260 mTorr/500 Ar/80 H_2 as a function of the CH_2F_2 flow rate for the P_{LF} of (a) 100 W, (b) 150 W, (c) 200 W

화와 CH_2F_2 유량에 따른 폐년되지 않은 실리콘질화물과 ArF PR 웨이퍼의 식각 특성을 연구하였다. 그림 1은 $\text{CH}_2\text{F}_2/\text{H}_2/\text{Ar}$ 가스 조합에서 H_2 와 Ar 유량을 80, 500 sccm으로 각각 고정시킨 채 CH_2F_2 가스를 10에서 40 sccm으로 변화시키며 식각률을 폐실리콘질화물과 ArF PR의 식각률과 식각 선택비를 나타낸 그래프이다. 이때, 마이어스 파워에 대한 효과를 알아보기 위하여 P_{LF} 를 100, 150, 200 W로 각각 변화시키며 실험하였다. 그림 1에서 보여진 바와 같이 CH_2F_2 유량이 증가함수로 Si_3N_4 와 ArF PR의 식각률이 감소하였다. 이때, Si_3N_4 와 ArF PR 식

각률의 음의 값은 표면 CH_3F_y 폴리머(polymer)가 증착 됐음을 의미한다. 더 많은 CH_3F_y 가스 유량은 Si_3N_4 와 ArF PR 표면에 CH_3F_y 폴리머의 증착을 증가시킬뿐만 아니라 식각률을 감소시키고 또한, 식각 선택비를 증가시킨다. 여기서 주목한 만한 점은 CH_3F_y 가스 유량이 30 sccm 이상일 때 무한히 높은 식각 선택비가 얻어 졌다는 것이다. 왜냐하면, Si_3N_4 중이 속속적으로 식각되는 동안에 ArF PR의 표면 위에는 CH_3F_y 폴리머층이 증착되었기 때문이다.

그림 2는 CH_3F_y 가스 유량을 20 sccm으로 고정한 상태에서 H_2 유량을 변화시킴에 식각했을 때

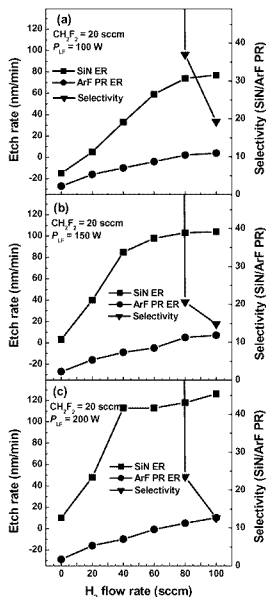


Fig. 2. Etch rates and etch selectivities of the blanket Si_3N_4 and ArF PR etched for 1 min under the condition of P_{IF} (400 W)/260 mTorr/500 Ar/20 CH_3F_y as a function of the H_2 flow rate for the P_{IF} of (a) 100 W, (b) 150 W, (c) 200 W.

Si_3N_4 와 ArF PR의 식각률과 $\text{Si}_3\text{N}_4/\text{ArF PR}$ 식각 선택비를 나타낸 그래프이다. H_2 유량이 증가함에 따라 ArF PR과 Si_3N_4 의 식각률이 점점 증가하였다. 이 실험에서 CH_3F_y 폴리머의 증착과 식각이 ArF PR과 Si_3N_4 식각률에 매우 중요한 역할을 한을 알 수 있다. H_2 유량이 60 sccm 이하일 때 무한히 높은 식각 선택비를 얻을 수 있었고, H_2 유량이 더 많이 증가함에 따라 $\text{Si}_3\text{N}_4/\text{ArF PR}$ 식각 선택비가 감소하였다.

그림 1과 2에서 ArF PR과 Si_3N_4 의 P_{IF} 변화에 따른 식각률의 변화 역시 비교할 수 있다. P_{IF} 가 증가함에 따라 ArF PR과 Si_3N_4 의 식각률은 증가한 반면에 식각 선택비는 감소하였다. 이는 P_{IF} 의 증자가 이온 폭격(bombardment) 에너지를 증가시키기 때문에 ArF PR과 Si_3N_4 의 식각률이 증가한 것이다⁴⁾.

식각식 플라즈마 속 반응종들의 연구를 위하여 OES를 사용하였다. 이 실험에서 H 1 (656.3, 486.1 nm)의 밝은 peak을 주로 측정하였다. 그림 3에서 보는 바와 같이, P_{IF} 가 증가한수록, CH_3F_y 가스 유량이 감소한수록, H_2 유량이 증가한수록 H 1 peak의 세기가 증가하였다. 이는 Si_3N_4 의 식각률 변화와 일치하는데, $\text{CH}_3\text{F}_y/\text{H}_2/\text{Ar}$ 플라즈마에서 수소 라디칼(radical)이 Si_3N_4 중 표면에 존재하는 CH_3F_y (hydro-fluorocarbon) 폴리미를 제거하는 역할을 하기 때문이다.

H_2 가스의 첨가 효과를 알아보기 위하여 식각된 실리콘질화물 표면의 화학적 변화를 XPS로 분석하였다. 실험조건은 그림 1에서의 P_{IF} 100 W일 때와 같은 조건에서 실험하였다. 식각된 실리콘질화물 표면으로부터 얻어진 Si 2p와 C 1s 스펙트럼을 사용하여 다음 식을 이용하여 CH_3F_y 박막 두께를 계산하였다^{7,8)}.

$$d_{\text{polymer}} = \lambda_{\text{C}(1s)} \ln \left(\frac{I_{\text{C}(1s)}^d}{I_{\text{C}(1s)}^0} \right)^{-1} \quad (1)$$

$$d_{\text{polymer}} = \lambda_{\text{Si}(2p)} \ln \left(\frac{I_{\text{Si}(2p)}^d}{I_{\text{Si}(2p)}^0} \right)^{-1} \quad (2)$$

CH_3F_y 폴리미 중의 두께(d_{polymer})는 식각된 실리콘질화물 표면으로부터 얻어진 C 1s와 Si 2p의 광반사를 강도($I_{\text{C}(1s)}^d, I_{\text{Si}(2p)}^d$)와 100 nm 이상 증착된 CH_3F_y 중과 순수한 실리콘 웨이퍼($I_{\text{C}(1s)}^0, I_{\text{Si}(2p)}^0$)의 강도를 이용하여 계산되었다. 여기서 $\lambda_{\text{C}(1s)}$ 와 $\lambda_{\text{Si}(2p)}$ 는 C 1s와 Si 2p 광진자의 평균자유행로이며, 각각 2.5 nm와 3.5 nm를 계산에 사용하였다. 그림 4에서 보는 바와 같이, d_{polymer} 값은 두 가지 방법 모두 비슷한 결과값을 가진다. 그림 1과 4에서 보다시피, H_2 유

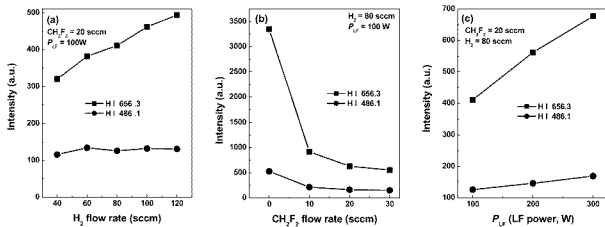


Fig. 3. Optical emission intensity of H radicals by OES as a function of the (a) H₂ flow rate, (b) CH₄F₂ flow rate, (c) P_LF at a fixed P_HF of 400 W.

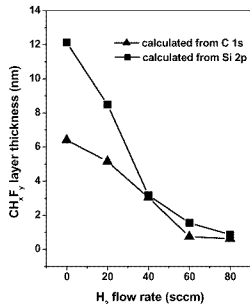


Fig. 4. The hydro-fluorocarbon (CH_xF_y) film thickness calculated from XPS data on silicon nitride surface as a function of H₂ flow rate.

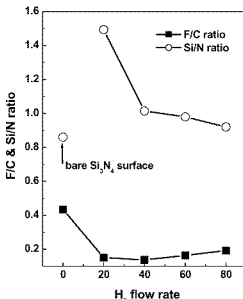


Fig. 5. F/C ratio of steady-state hydro-fluorocarbon (CH_xF_y) layer and Si/N ratio of the etched Si₃N₄ surface determined from XPS analysis as a function of H₂ flow rate.

량이 증가한수록 ArF PR과 실리콘질화물 표면의 폴리머 생성이 감소한 반면에 ArF PR과 실리콘질화물의 삭각률은 증가하였다. 정상상태(steady-state)의 폴리머 두께 감소는 실리콘질화물의 삭각을 증대시킨다^{3,11}.

그림 5는 실리콘질화물과 정상상태의 CH_xF_y 폴리머의 조성에 대한 H₂ 유량의 효과를 알아보기 위하여 XPS 스펙트럼들로부터 얻어진 F/C와 Si/N 조성비이다. H₂ 유량이 0에서 20 sccm으로 증가했을 때 F/C 조성비가 감소하였다. 이는 수소가 플라즈마 속에서 또는, hydro-fluorocarbon 박막에 있는 플로린 원자들을 제거하기 때문이다¹⁰. 더 많은 H₂ 가스를 흘려주자 F/C 조성비가 조금씩 증가하였는데

CH_xF_y 폴리머가 HCN과 같은 반응물을 형성하여 효과적으로 제거되기 때문인 것으로 풀이된다. 정상상태의 CH_xF_y 폴리머 속에 있는 플로린이 실리콘질화물의 삭각에 사용되어지기 때문에 실리콘질화물의 삭각률은 CH_xF_y 박막내의 플로린이 소모되는 것과도 매우 큰 연관성이 있다³. 또한, H₂ 유량이 많아짐에 따라 SiF₄ 분자들의 형성이 증가하여 Si/N 조성비는 점점 감소하였는데 실리콘질화물의 삭각시 생성되는 HCN과 같은 CN 함유 부산물에 의한 N 제거가 삭각 부산물인 SiF₄ 분자들의 형성을 더 빠르게 증가시켜 표면의 Si/N 조성비가 감소하는 것으로 사료된다.

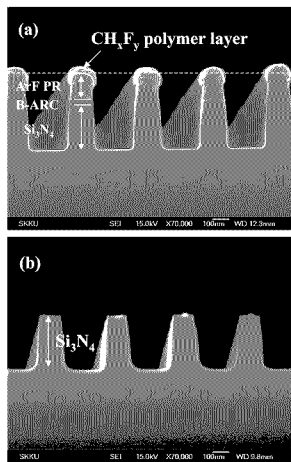


Fig. 6. FE-SEM images of the pattern wafer etched for 3 min under the condition of $P_{\text{HF}}(400 \text{ W})/260 \text{ mTorr}/500 \text{ Ar}/20 \text{ CH}_2\text{F}_2/60 \text{ H}_2$ (a) pattern with the ArF PR intact, (b) pattern ashed by O_2/CF_4 plasma.

무한히 높은 $\text{Si}_3\text{N}_4/\text{ArF}$ PR 식각 선택비를 확보하기 위하여 패턴된 웨이퍼에서도 실험을 하였다. ArF PR/B-ARC/ $\text{Si}_3\text{N}_4/\text{Si}$ 직층 구조를 갖는 패턴된 웨이퍼를 그림 1에서와 같은 조건에서 3분 동안 식각한 후에 FE-SEM을 측정을 하였다. 이때 H_2 유량은 60 sccm이다. 식각된 샘플의 CD는 130 nm이고 180 nm의 두께를 갖는 ArF PR과 에싱(ashing)된 케이블을 각각 그림 6(a)와 6(b)에 나타내었다. 패턴되지 않은 웨이퍼의 식각에서와 마찬가지로 실리콘질화물이 속속적으로 식각되는 동안 ArF PR의 표면에는 CH_xF_y 폴리머가 증착되었기 때문에 무한히 높은 시각 선택비를 얻을 수 있었다.

4. 결 론

본 실험에서, 우리는 $\text{CH}_2\text{F}_2/\text{H}_2/\text{Ar}$ 플라즈마에서 DFS-CCP를 이용하여 실리콘질화물과 ArF PR 간의 무한히 높은 식각 선택비를 얻기 위한 공정조건

을 연구하였다. CH_2F_2 , H_2 , P_{HF} 의 변화에 따라서 실리콘질화물과 ArF PR의 식각을 변화를 분석하였다. CH_2F_2 가스가 감소할수록, H_2 가스 유량과 P_{HF} 가 증가할수록 식각률이 상승하였다. 특히 플라즈마 내수소 종들이 실리콘질화물 표면 위에 존재하는 정상상태의 폴리머 두께를 조절하는데 매우 중요한 역할을 하였다. 즉, H_2 유량이 증가할수록 실리콘질화물 표면 위의 CH_xF_y 폴리머들은 효과적으로 제거되었고, HCN 과 SiF_4 등과 같은 식각 부산물들에 의하여 실리콘질화물은 지속적으로 식각되었다. 반면에 ArF PR의 표면에는 폴리머의 생성이 지속적으로 이루어져 PR이 더 이상 식각되지 않았다. 따라서 무한히 높은 식각 선택비를 얻을 수 있었고, 이 결과는 하드마스크의 간단한 식각 공정에 유용하게 응용 될 수 있을 것이다.

후 기

본 연구는 과학기술부/산업자원부에서 시행한 “시스템 IC 2010 사업”에 의해 수행 되었습니다. 본 연구에 사용된 193 nm ArF photoresist를 제공해 주신 (주)동진제Microp을 감사드립니다.

참고문헌

- D. H. Kim, C. H. Lee, S. H. Cho, N.-E. Lee, J. Vac. Sci. Technol., B 23 (2005) 2203.
- J. Kim, Y. S. Chac, W. S. Lee, J. W. Shon, C. J. Kang, W. S. Han, J. T. Moon, J. Vac. Sci. Technol., B 21 (2003) 790.
- V. Georgieva, A. Bogaerts, R. Gijbels, J. Appl. Phys., 94 (2003) 3748.
- P. C. Boyle, A. R. Ellingboe, M. M. Turner, Plasma Sources Sci. Technol., 13 (2004) 493.
- P. C. Boyle, A. R. Ellingboe, M. M. Turner, J. Phys. D: Appl. Phys., 37 (2004) 697.
- H. C. Kim, J. K. Lee, Phys. Rev. Lett., 93 (2004) 085003.
- D. Briggs, M. P. Seah, Practical Surface Analysis, 2nd ed. Wiley, New York, 1 (1990) 135.
- T. E. F. M. Standaert, C. Hedlund, E. A. Joseph, G. S. Oehrlein, J. Vac. Sci. Technol., A 22 (2004) 53.
- M. Schaeckens, T. E. F. M. Standaert, N. R. Rueter, P. G. M. Schel, G. S. Oehrlein, J. Vac. Sci. Technol., A 17 (1999) 26.
- Y. Zhang, G. S. Oehrlein, F. H. Bell, J. Vac. Sci. Technol., A 14 (1996) 2127.
- M. Matsui, T. Tatsumi, M. Sekine, J. Vac. Sci. Technol., A 19 (2001) 1282.